

01; 07; 12

(C) 1992

## ИНТЕГРАЛЬНАЯ ВРЕМЯПРОЛЕТНАЯ АНЕМОМЕТРИЯ

В.Л. Кононенко

Лазерная доплеровская и времязадержательная анемометрия широко используются для диагностики потоков [1, 2]. В традиционной постановке они основаны на локальном принципе измерений. При этом регистрация пространственных характеристик течения требует сканирования потока, что не всегда удобно. В работах [3, 4] реализована интегральная доплеровская анемометрия (ИДА), основанная на регистрации доплеровских частот сразу со всего поперечного сечения потока. Метод ИДА позволяет восстанавливать профили скорости течения и концентрации рассеивателей в потоке по форме измеренного ИДА спектра [4, 5]. В настоящей работе интегральный подход распространен на времязадержательную анемометрию (ИВА).

Суть ИВА заключается в следующем. Каждая частица в потоке, пересекающая со скоростью  $v_0$  два зондирующих луча времязадержательной системы, генерирует два импульса тока фотоприемника, разнесенных на  $\tau_0 = d/v_0$ , где  $d$  – расстояние между лучами. При случайному распределении частиц вдоль линии тока сигнал фотоприемника  $i(t)$  является случайной последовательностью таких пар импульсов. Автокорреляционная функция сигнала  $g(\tau) =$

$$= \int_{-\infty}^{\infty} i(t) i(t + \tau) dt \quad \text{имеет два максимума, при } \tau = 0 \text{ и } \tau = \tau_0.$$

В пределе бесконечно узких зондирующих лучей эти максимумы переходят в  $\delta$ -функции. Если скорости частиц разных сортов или в разных точках поперечного сечения потока различны, то каждой скорости соответствует свой пик в  $g(\tau)$ . Положение пика определяется скоростью частицы, а его амплитуда – средней по времени локальной концентрацией частиц. В этом случае интегральная по поперечному сечению автокорреляционная функция  $G(\tau)$  вместо узкой линии  $\delta(\tau - \tau_0)$  будет содержать широкую полосу. Форма полосы (огибающая элементарных линий) определяется поперечными профилями скорости потока и концентрации рассеивателей. Ситуация аналогична возникающей в интегральной доплеровской анемометрии [3–5], с той разницей, что относится к автокорреляционной функции, а не к частотному спектру. Различие обусловлено тем, что в доплеровской анемометрии регистрируемый сигнал порождается равномерным движением рассеивателя в периодическом (в пределе – синусоидальном с постоянным фоном) рельфе освещенности, чему соответствует  $\delta$ -функция в частотном спектре.

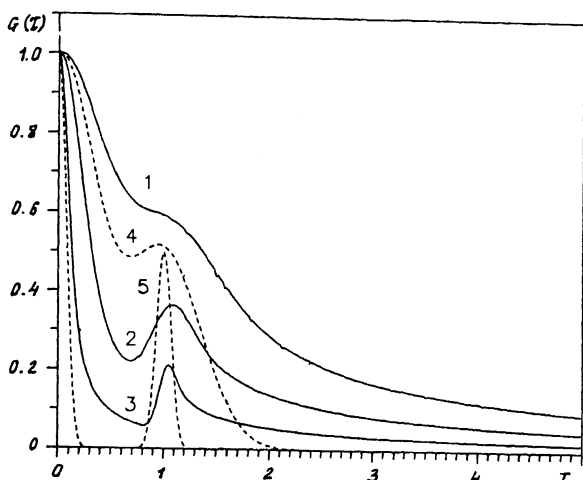


Рис. 1. Интегральные корреляционные функции, рассчитанные для двухлучевой времязадающей схемы в случае плоского пуазейлевского течения с однородным распределением рассеивателей при различных  $l = 2$  (1), 4 (2), 10 (3). Пунктир – случай  $\sigma_z(x) \equiv \sigma_0$ , при  $l = 2$  (4) и 10 (5). Время в единицах  $d/\sigma_0$ .

Проанализируем двухлучевую схему ИВА на примере стационарного ламинарного потока разбавленной суспензии рассеивающих частиц в плоском канале шириной  $2h$ . Используем систему безразмерных координат в единицах  $h$  с осью  $z$  вдоль потока, осью  $x$  поперек канала и осью  $y$  в его центральной плоскости. Пусть освещенность потока зондирующими лучами

$$I(y, z) = I_0 \exp \left\{ -\frac{2h^2}{\omega_0^2} \cdot \left[ \left( z + \frac{d}{2h} \right)^2 + y^2 \right] \right\} + I_2 \exp \left\{ -\frac{2h^2}{\omega_0^2} \cdot \left[ \left( z - \frac{d}{2h} \right)^2 + y^2 \right] \right\}, \quad (1)$$

где  $\omega_0$  – радиус гауссова пучка света [1, 2]. Обозначим:  $\sigma_z(x) = \sigma_0 \cdot \mu(x)$  – профиль скоростей течения, где  $\mu(x)$  – бесразмерная функция,  $C(x)$  – поперечный профиль концентрации рассеивателей. Форма импульса фототока от пролета одной частицы получается подстановкой в (1) ее координат  $x, y, z(t) = \sigma_z(x) \times t + z_0$ . Используя известное выражение для корреляционной функции случайной последовательности импульсов [6] и интегрируя результат по поперечному сечению потока, получим:

$$G(t) \sim I_0^2 C^2 \omega_0^2 h^2 \int_{-1}^1 \int \exp \left( -\frac{4h^2 y^2}{\omega_0^2} \right) \cdot C(x) \cdot \left[ (1 + \beta^2) \exp[-l^2 \tau^2 \mu^2(x)] + \right. \quad (2)$$

$$+\beta \cdot \exp \left[ -t^2(\tau \cdot u(x)-1)^2 \right] +\beta \cdot \exp \left[ -t^2(\tau \cdot u(x)+1)^2 \right] \} dy dx.$$

Здесь  $\epsilon$  – сечение рассеяния света частицей,  $\beta = I_2/I_1$ ,  $\zeta = d/\omega_0$ , время  $\tau$  выражено в единицах  $\tau_0 = d/\omega_0$ . Интегрирование по  $y$  существенно лишь для неплоских каналов, где  $u$  и  $C$  зависят от обеих поперечных координат.

Первое слагаемое (2) соответствует пересечению частицами одного луча, второе и третье – последовательному пересечению ими обоих лучей. При  $\zeta \gg 1$  интегралы (2) вычисляются методом Лапласа. Для канала с неподвижными стенками  $u(-1)=u(1)=0$ ,  $u(x_m)=1$ ,  $-1 < x_m < 1$ . С учетом этого результат для плоского канала имеет вид:

a)  $0 < \tau \ll 1/\zeta$

$$G(\tau) \sim \pi^{-\frac{1}{2}} (1 + \beta^2) \left[ \int_{-1}^1 C(x) dx - \zeta^2 \tau^2 \int_{-1}^1 C(x) u(x) dx \right] + \frac{\beta}{\zeta \tau} [G_2(\tau) + G_3];$$

b)  $1/\zeta \ll \tau < 1$

$$G(\tau) \sim \frac{1}{\zeta \tau} \left\{ (1 + \beta^2) G_1 + \beta [G_2(\tau) + G_3] \right\}; \quad (3)$$

v)  $\tau > 1$

$$G(\tau) \sim \frac{1}{\zeta \tau} \left\{ (1 + \beta^2) G_1 + \beta \left[ \frac{C[x_1(\tau)]}{\left| \frac{du}{dx}[x_1(\tau)] \right|} + \frac{C[x_2(\tau)]}{\left| \frac{du}{dx}[x_2(\tau)] \right|} + G_3 \right] \right\}.$$

В (3) опущен множитель  $I_1^2 \zeta^2 \omega_0^2 h$ , а выражения для  $G_1$ ,  $G_2$ ,  $G_3$  имеют вид:

$$G_1 = \frac{1}{2} \left[ \frac{C(-1)}{\left| \frac{du}{dx}(-1) \right|} + \frac{C(1)}{\left| \frac{du}{dx}(1) \right|} \right]; \quad G_3 = \frac{\exp(-\zeta^2)}{\zeta^{1/2} \zeta} G_1, \quad (4)$$

$$G_2(\tau) = \frac{C(x_m) \cdot \exp[-\zeta^2(1-\tau)^2]}{\left[ \left( \frac{1}{\tau} - 1 \right) \cdot \left| \frac{d^2 u}{dx^2}(x_m) \right| \right]^{1/2}}.$$

Функции  $x_1(\tau)$  и  $x_2(\tau)$ , входящие в (4), являются решениями уравнения  $u(x) = 1/\tau$  в областях  $-1 \leq x \leq x_m$  и  $x_m \leq x \leq 1$  соответственно.

Формулы (3) показывают, что при  $\zeta \gg 1$  ( $d \gg \omega_0$ ) форма двухлучевой компоненты  $G(\tau)$  в области  $\tau > 1$  ( $\tau > d/\omega_0$ )

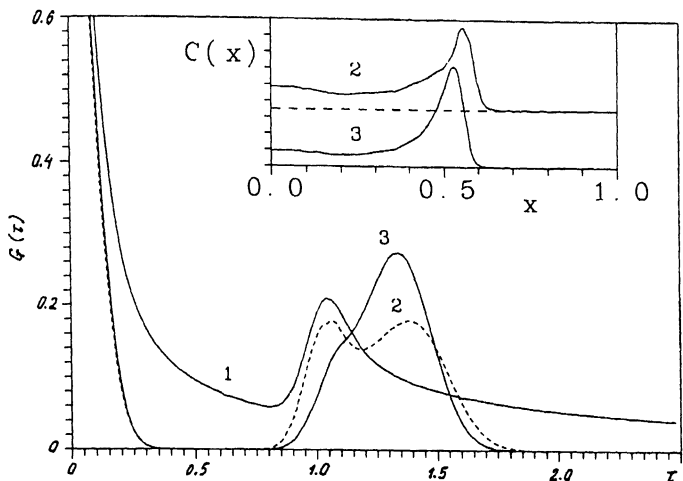


Рис. 2. ИВА коррелограммы, рассчитанные для плоского пуазейлевского потока с поперечно неоднородными профилями концентрации рассеивателей  $C(x)$  (см. вставку). Кривая 1 – для однородного профиля концентрации.  $l=10$ .

в размерном виде) промодулирована поперечным концентрационным профилем рассеивателей, а также производной от профиля скорости потока. Как и в случае ИДА [3, 5], это дает возможность двух типов измерений: 1) профиля скоростей течения, при условии полностью однородного распределения рассеивателей в потоке; 2) поперечного профиля концентрации частиц в потоке с априорно известным либо предварительно измеренным профилем скорости.

Рассмотрим практически важный пример пуазейлевских течений разбавленных суспензий в плоском и круглом каналах, в том числе в условиях поперечной гидродинамической фокусировки частиц [3, 4, 7]. Здесь  $\mu(\xi)=1-\xi^2$ , причем  $\xi=x$  для плоского канала и  $\xi=(x^2+y^2)^{1/2}$  для круглого. В пределе  $l \gg 1$  из (2), (3) следует, что в области  $\tau > 0$

$$G_F(\tau) \sim \frac{1}{\tau} \left\{ (1+\beta^2) [C(-1) + C(1)] + \frac{2\beta}{\xi} [C(-\xi) + C(\xi)] \right\} \cdot \theta(\tau-1); \\ G_C(\tau) \sim \frac{1}{\tau} \left\{ (1+\beta^2) C(1) + 2\beta C(\xi) \right\} \cdot \theta(\tau-1); \quad \xi(\tau) = \left(1 - \frac{1}{\tau}\right)^{1/2} \quad (5)$$

для плоского ( $G_F$ ) и круглого ( $G_C$ ) каналов. Здесь  $\theta(x)=0$  при  $x \leq 0$ ,  $\theta(x)=1$  при  $x > 0$ . В общем случае форма коррелограммы зависит от  $l$ , что иллюстрируют кривые рис. 1,

рассчитанные по (2) при  $C(x) = const$ . Там же даны для сравнения коррелограммы в случае  $\sigma_x(x) \equiv \sigma_0$ . На рис. 2 показана форма ИВА коррелограмм в случае неоднородной поперечной концентрации рассеивателей. Профили  $C(x) = C(-x)$ , использованные в расчетах, измерены методом ИДА в условиях поперечной гидродинамической фокусировки частиц в плоском канале шириной 110 мкм [4]. Расчеты показывают, что при  $L > 8$  для описания  $G(\tau)$  в области  $\tau > 1$  можно использовать формулы (3), (5). Из этих формул следует, что профиль концентрации частиц в пуазейлевском потоке можно определить по форме измеренной ИВА коррелограммы путем построения функции  $\tau \cdot G(\tau)$  в зависимости от  $\xi = (1 - 1/\tau)^{1/2}$ .

Полученные результаты показывают, что ИВА может быть использована для определения профилей концентрации частиц в потоке и профилей скоростей потоков. Благодаря сходству физических принципов ИДА и ИВА имеется математическое соответствие формы ИДА спектра мощности  $S(\omega)$  в шкале частот  $\omega$  [5] и произведения  $\tau \cdot G(\tau)$  в шкале  $1/\tau$ . Это дает возможность использовать в ИВА алгоритмы восстановления  $C(x)$  и  $\sigma(x)$ , разработанные для ИДА [5]. При  $d \gg \omega_0$  ( $L \gg 1$ ) для восстановления профилей можно использовать простые формулы (3)–(5).

#### С п и с о к л и т е р а т у р ы

- [1] Ринкевич Юс Б.С. Лазерная диагностика потоков. М.: Изд-во МЭИ, 1990. 288 с.
- [2] Ринкевич Юс Б.С., Смирнов В.И. // Известия техника. 1989. № 5. С. 56–60.
- [3] Кононенко В.Л., Шимкус Я.К. // Письма в ЖТФ. 1988. Т. 14. № 22. С. 2064–2068.
- [4] Кононенко В.Л., Шимкус Я.К. // Сибирский физико-технический журнал. 1992. № 2. С. 17–22.
- [5] Кононенко В.Л., Шимкус Я.К. // Известия техника. 1992. № 8. С. 33–37.
- [6] Букингем М. Шумы в электронных приборах и системах. М.: Мир, 1986. 399 с.
- [7] Кононенко В.Л., Шимкус Я.К. // J. Chromatography. 1991. V. 553. P. 517–530.

Поступило в Редакцию  
20 июля 1992 г.